

УДК 533.9.072.15

ПОДОБИЕ ПРИ ОБТЕКАНИИ ПЛАСТИНКИ И ЦИЛИНДРА  
ЗАМАГНИЧЕННОЙ ПЛАЗМОЙ

*В. Т. Аструлин, И. А. Богащенко,  
Н. С. Бучельникова, Ю. И. Эйдельман*

(*Новосибирск*)

Работа посвящена проверке закона подобия при обтекании тел разреженной замагниченной плазмой в условиях, моделирующих условия обтекания искусственных спутников Земли в ионосфере. Экспериментально подтвержден закон подобия для обтекания пластинок и цилиндров различных размеров ( $R_0/\rho_i \approx 0.5 \div 1$ ,  $V_0/V_i \approx 1.5 \div 2$ ).

Показано, что картины обтекания пластинки и цилиндра совпадают при малых значениях параметра  $\delta$  ( $\delta = R_0/z_H$ ). Исследовано влияние потенциала тел на картину их обтекания.

Существование закона подобия при обтекании замагниченной плазмой тел одинакового профиля, но разного размера было показано теоретически [1]. Рассмотрение проводилось в так называемом «нейтральном приближении», не учитывавшем электрическое поле, возникающее вследствие возмущения плазмы телом, так что полученные выводы справедливы только в дальней зоне следа. Закон подобия проявляется в том, что профиль следа описывается функцией безразмерных параметров. Так, при обтекании тела с круговым сечением радиуса  $R_0$  в однородном магнитном поле профиль относительных плотностей имеет вид [1]

$$\frac{n(\rho, z)}{n_0} = f\left(\frac{R_0}{\rho_i}, \frac{\rho}{R_0}, \frac{z}{z_H}\right) \quad (0.1)$$

Здесь  $\rho$  и  $z$  — текущие координаты точек в следе за телом,  $n_0$  — плотность невозмущенного потока,  $V_0$  — скорость потока плазмы (в (0.1) предполагается, что плазма движется вдоль магнитного поля  $H$ ),  $\rho_i = V_i / \omega_i$  — ларморовский радиус ионов,  $V_i$  — их тепловая скорость,  $\omega_i$  — циклотронная частота ионов,  $z_H = 2\pi V_0 / \omega_i$  — расстояние, на котором ион, движущийся со скоростью  $V_0$  вдоль  $H$ , совершает полный оборот по ларморовской орбите.

Из (0.1) следует, что профили следа одинаковы в координатах  $\rho / R_0$ ,  $z / z_H$ , если отношение  $R_0 / \rho_i$  поддерживается постоянным.

Следует отметить, что для незамагниченной плазмы существование закона подобия показано теоретически не только в нейтральном приближении [1], но и в приближении, учитывающем электрическое поле и справедливом и в ближней зоне следа [2]. Существование закона подобия для незамагниченной плазмы было подтверждено экспериментально [3].

1. Условия эксперимента. Эксперименты проводились на установке типа  $Q$ -машины. Возможность использования ее для исследования обтекания тел замагниченной плазмой была подробно рассмотрена ранее [4].

Плазма образуется при термической ионизации калия на вольфрамовом ионизаторе диаметром 4 см, нагретом до температуры  $T \geq 2000^\circ$  К. Плазма удерживается магнитным полем и представляет собой цилиндрический столб, ограниченный с одного торца ионизатором, а с другого — холодным отрицательно заряженным электродом ( $U = -7$  в, так что

$|eU/T| \gg 1$ ). Плотность плазмы практически однородна вблизи оси столба в области диаметром  $\sim 2.5$  см. Эксперименты проводились в режиме электронного слоя. В этом случае ионы ускоряются в слое, приобретая направленную скорость  $V_0$  и продольную температуру  $T_{\parallel}$  [5]. Плазма течет от ионизатора к холодному электроду со скоростью  $V_0$ . В режиме электронного слоя поток устойчив.

Электроны имеют максвелловскую функцию распределения с температурой  $T_e \sim T$ , ионы — двухтемпературную максвелловскую функцию с  $T_{\parallel} < T_{\perp} \sim T$  [4]. Параметры плазмы таковы, что  $e - i$ -и  $e - e$ -столкновения не играют роли (длина свободного пробега  $l \gg L$ ), однако  $i - i$ -столкновения, приводящие к выравниванию  $T_{\parallel}$  и  $T_{\perp}$ , могут оказаться существенными.

Магнитное поле изменялось от 500 до 1600 э, плотность плазмы  $n_0 \sim 1-6 \cdot 10^9$  см<sup>-3</sup>, скорость потока плазмы  $V_0 = (1.2 \div 2.1) \cdot 10^5$  см/сек, температура ионизатора  $T = 2000 \div 2500$ ° К.

Измерения плотности проводились с помощью цилиндрических вольфрамовых зондов длиной 2 мм и диаметром 0.25 мм; скорость потока определялась по периоду  $z_H$  продольных осцилляций плотности на оси следа за плоским телом [5]

$$V_0 = z_H \omega_i / 2\pi \quad (1.1)$$

Исследовалось обтекание пластинок (плоские тела) шириной  $2R_0 = 3.5, 5$  и  $7$  мм и цилиндров (объемные тела) диаметром  $2R_0 = 3.5$  и  $7$  мм. Высота пластинок и цилиндров 3 см, так что для описания следа тела достаточно двумерной картины. Исследуемое тело помещается в плазму перпендикулярно к потоку в зоне однородной плотности. Эксперименты проводились с отрицательно-заряженными телами ( $U = -7$  в).

Условия этих экспериментов хорошо моделируют обтекание тел размером  $\sim 2$  м в ионосфере на высотах  $\sim 200-1000$  км, что видно из табл. 1 ( $r_D$  — дебаевский радиус,  $\rho_e$  и  $V_e$  — ларморовский радиус и тепловая скорость электронов).

Таблица 1

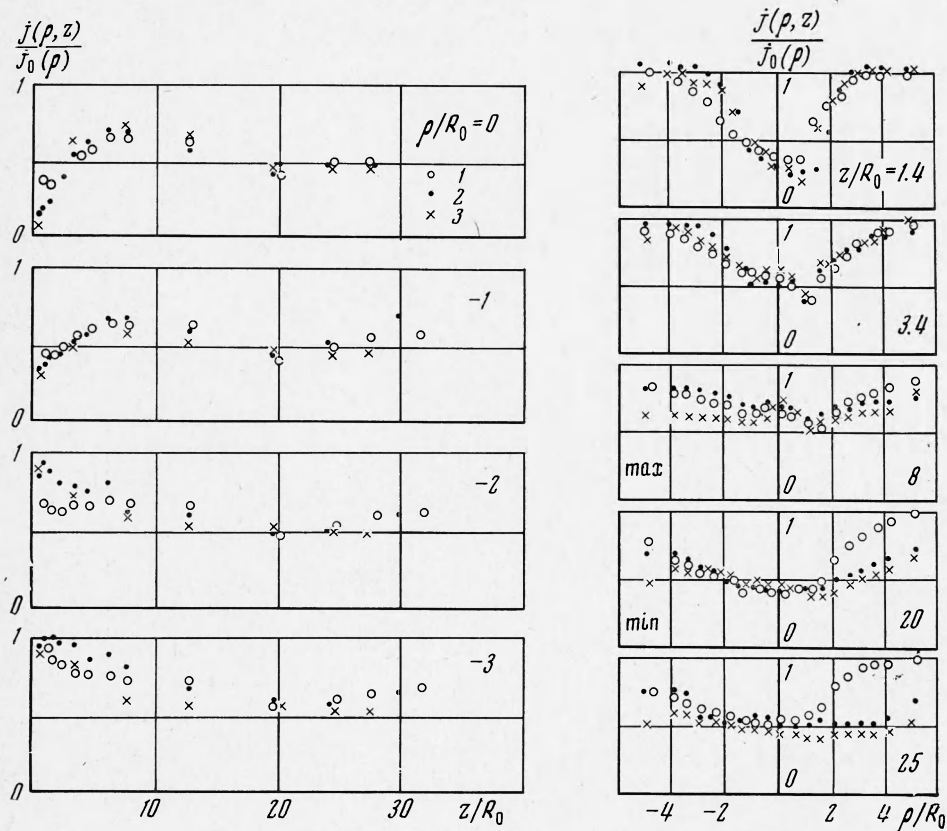
Параметр	Эксперимент	Ионосфера
$R_0 / r_D$	$30 \div 100 \gg 1$	$50 \div 1000 \gg 1$
$R_0 / \rho_e$	$120 \div 270 \gg 1$	$100 \div 200 \gg 1$
$R_0 / \rho_i$	$0.45 \div 1.0$	$0.25 \div 1.0$
$V_0 / V_e$	$(5 \div 8) \cdot 10^{-3} \ll 1$	$0.01 \ll 1$
$V_0 / V_i$	$1.2 \div 2.1$	$0.8 \div 6$
$R_0 / l$	$2 \cdot 10^{-2} \div 2 \cdot 10^{-3} \ll 1$	$5 \cdot 10^{-2} \div 10^{-4} \ll 1$

**2. Обтекание тел разного размера.** Для проверки существования подобия при обтекании одинаковых тел разного размера выбирались эксперименты, в которых для тел с разными  $R_0$  сохраняются постоянными величины  $R_0 / \rho_i$ ,  $V_0 / V_i$ . В табл. 2 и 3 приведены параметры исследованных режимов для пластинок и цилиндров соответственно.

Для выяснения вопроса, существует ли подобие, следует построить сечения следа  $n(\rho, z) / n_0$  в координатах  $\rho / R_0$ ,  $z / z_H$ . Поскольку

$$\frac{z}{z_H} = \frac{1}{2\pi} \frac{z}{R_0} \frac{R_0}{\rho_i} \frac{V_i}{V_0}$$

и  $R_0 / \rho_i$ ,  $V_i / V_0$  постоянны, координату  $z / z_H$  можно заменить на  $z / R_0$ .



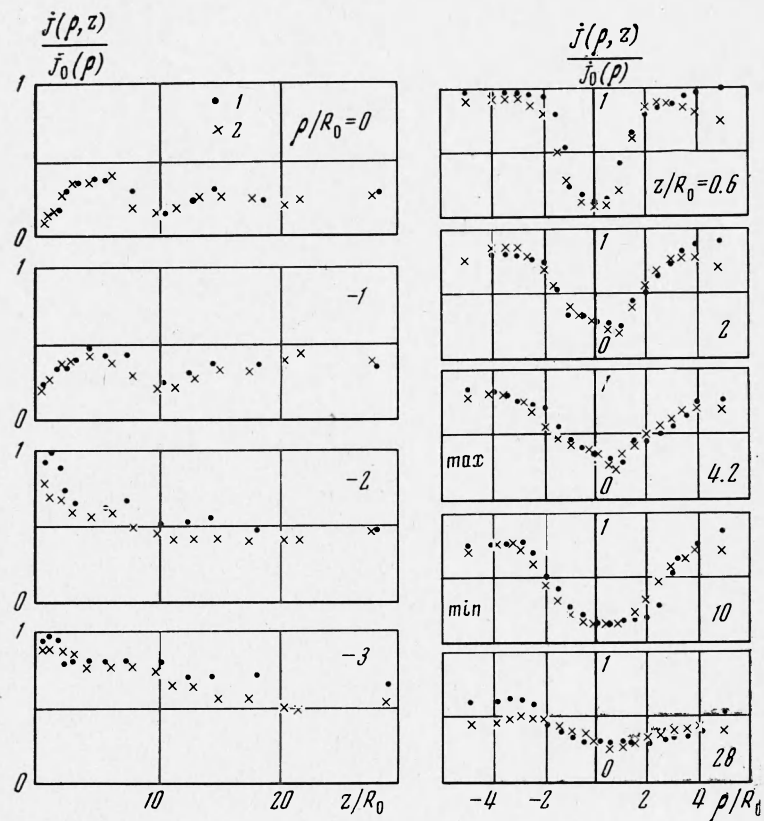
Фиг. 1

Отношение  $n(0, z) / n_0$  можно заменить равным ему отношением токов зонда  $j(\rho, z) / j_0$ . На фиг. 1—3 показаны распределения относительной плотности вдоль следа на различных расстояниях от оси и распределения

Таблица 2

## Обтекание пластинок разного размера

Режим	№ фигуры, обозначения	$2R_0$ , мм	$H$ , арштед	$V_0$ , см/сек	$R_0 / \rho_i$	$V_0 / V_i$
1	1 2 3	3.5	1000			
		5	700	$1.5 \cdot 10^5$	0.5	1.5
		7	500			
2		3.5	1600			
		5	1100	$1.4 \cdot 10^5$	0.7	1.5
		7	700			
3	1 2 3	3.5	1600			
		5	1100	$2.1 \cdot 10^5$	0.7	2.0
		7	800			
4	2 2	5	1500			
		7	1100	$1.5 \cdot 10^5$	1.0	1.6



Фиг. 2

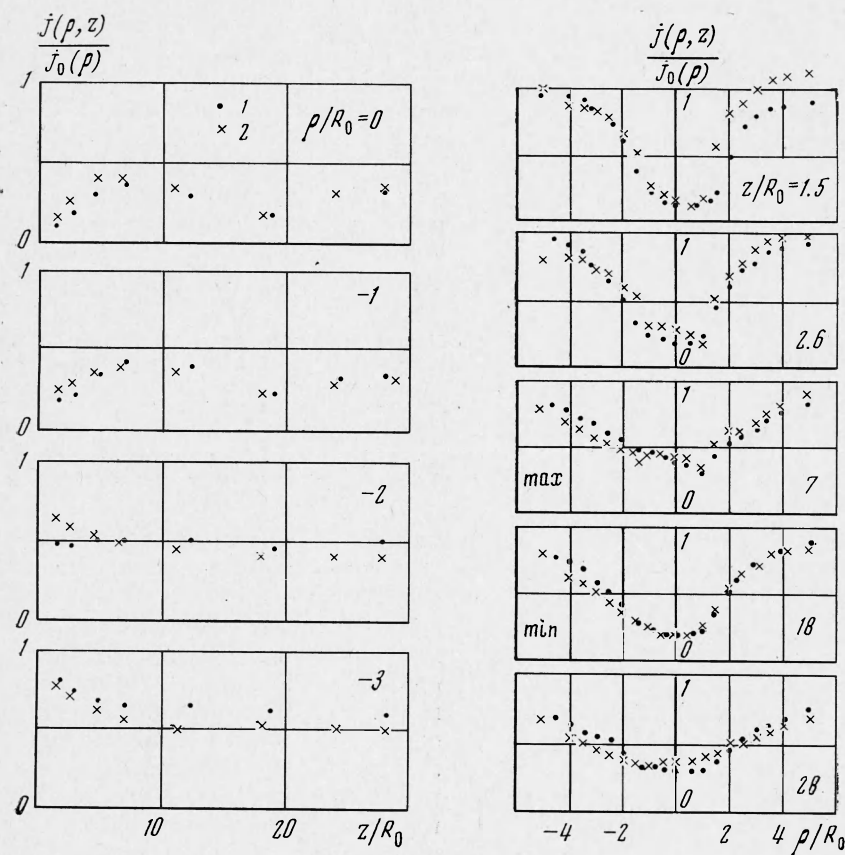
плотности поперек следа на различных расстояниях от тела для некоторых экспериментов.

Во всех экспериментах в области внутри следа ( $\rho / R_0 < 2$ ) картина практически одинакова для тел разных размеров. Существенные различия наблюдаются, как правило, при больших  $\rho / R_0$ ,  $z / R_0$  и не имеют систематического характера. Причина их, по-видимому, заключается в больших погрешностях измерений, связанных с недостаточной воспроизводимостью условий эксперимента (измерения для тел разных размеров прово-

Таблица 3

## Обтекание цилиндров разного радиуса

Режим	№ фигуры, обозначения	$2R_0$ , мм	$H$ , см	$V_0$ , см/сек	$R_0 / \rho_i$	$V_e / V_i$
1	3 1	3.5	1600	$2.0 \cdot 10^5$	0.7	2.0
	2	7	800			
2		3.5	1400	$1.5 \cdot 10^5$	0.6	1.6
		7	700			
3		3.5	1000	$1.5 \cdot 10^5$	0.5	1.5
		7	500			



Фиг. 3

дились в разных экспериментах после переборки экспериментальной системы).

Таким образом, можно утверждать, что в условиях проведенных экспериментов ( $R_0 / \rho_i \sim 0.5 \div 1$ ,  $V_0 / V_i \sim 1.5 \div 2$ ) закон подобия выполняется как для плоских, так и для объемных тел. Подобие наблю-

Таблица 4  
Обтекание пластинки и цилиндра

№ фиг.	$2R_0$ , мм	$H$ , эрстед	$V_0$ , см/сек	$R_0 / \rho_i$	$V_0 / V_i$	$\delta = R_0 / z_H$
4, а	3.5	1600	$1.5 \cdot 10^5$	0.75	1.6	0.076
4, б	3.5	1600	$2.1 \cdot 10^5$	0.70	2.2	0.052
4, в	3.5	1000	$1.5 \cdot 10^5$	0.45	1.5	0.048
4, г	3.5	700	$1.2 \cdot 10^5$	0.35	1.3	0.041
4, д	3.5	700	$1.5 \cdot 10^5$	0.30	1.5	0.033
5	3.5	1600	$1.5 \cdot 10^5$	0.75	1.6	0.076
6	3.5	700	$1.2 \cdot 10^5$	0.35	1.3	0.041
7, 8	3.5	1000	$1.3 \cdot 10^5$	0.45	1.3	0.053
—	7	1500	$1.6 \cdot 10^5$	1.4	1.7	0.135
—	7	1100	$1.5 \cdot 10^5$	1.0	1.6	0.11
—	7	700	$1.6 \cdot 10^5$	0.65	1.7	0.063
—	7	800	$2.1 \cdot 10^5$	0.70	2.1	0.062
—	7	500	$1.4 \cdot 10^5$	0.45	1.5	0.048

дается как в дальней зоне, в соответствии с предсказанием нейтрального приближения теории [1], так и в ближней зоне, для которой в случае замагниченной плазмы теоретическое рассмотрение не проводилось.

**3. Обтекание пластиинки и цилиндра одинакового сечения.** Было проведено сравнение картин обтекания пластиинки и цилиндра. Такое сравнение для случая замагниченной плазмы ранее не проводилось. Для случая незамагниченной плазмы теоретически было показано [2], что картины совпадают при большой скорости потока плазмы ( $V_0 / V_i \gg 1$ ).

На фиг. 4 приведены результаты измерений относительной плотности плазмы на оси в разных режимах. В качестве параметра выбрана величина

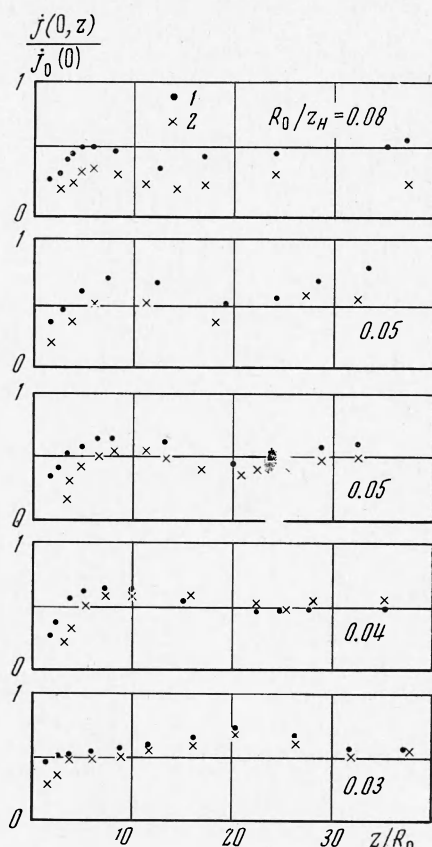
$$\delta = \frac{R_0}{z_H} = \frac{1}{2\pi} \frac{R_0}{\rho_i} \frac{V_i}{V_0} \quad (3.1)$$

характеризующая отношение продольного размера цилиндра к длине осцилляции плотности в следе. Разумно ожидать, что картина обтекания пластиинки и цилиндра будет одинаковой, когда это отношение мало. На фиг. 4 показаны сечения следа за пластиинкой (1) и цилиндром (2) при различных значениях параметра  $\delta$ . Видно, что при больших значениях этого параметра следы пластиинки и цилиндра отличаются друг от друга — уровень плотности в следе цилиндра ниже. При малых значениях  $\delta$  следы совпадают за исключением ближней зоны за телом.

На фиг. 5, 6 приведены полные картины следа за телом (продольные и поперечные сечения следа) в двух режимах. Параметры исследованных режимов приведены в табл. 4.

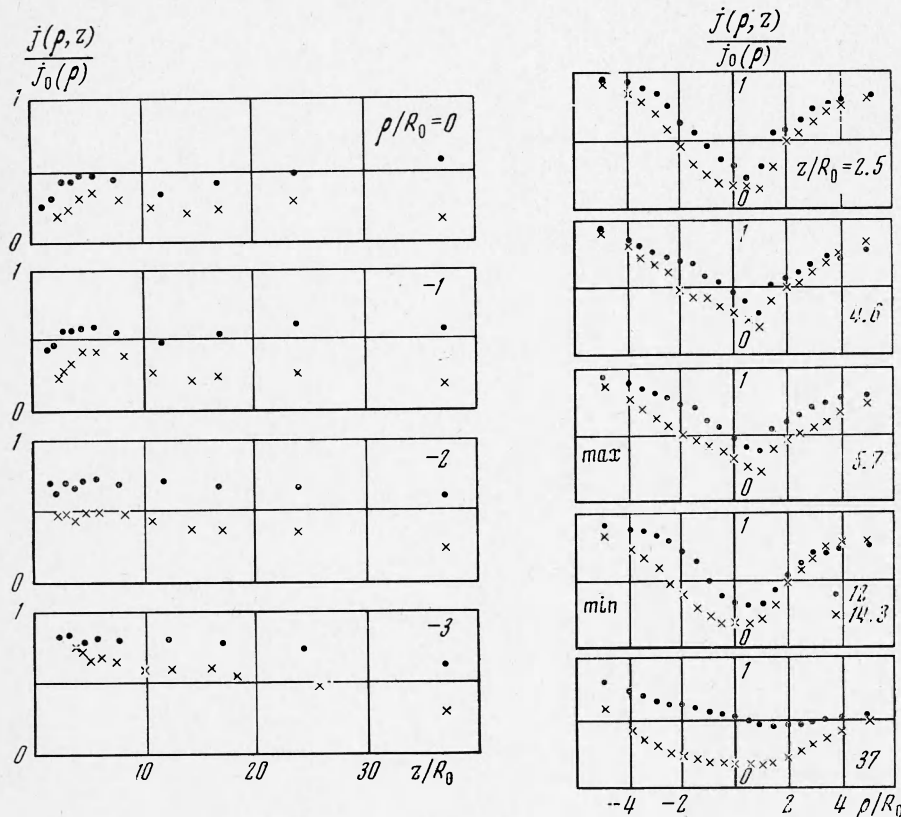
Из экспериментов следует, что при больших значениях  $\delta$  (фиг. 5) след цилиндра лежит ниже следа пластиинки, а при малых (фиг. 6) — следы практически совпадают, за исключением ближней зоны. При одинаковых значениях  $\delta$ , полученных при разных комбинациях  $R_0, H, V_0$  следы имеют одинаковый характер. Таким образом, параметр  $\delta$  качественно характеризует взаимную картину обтекания отрицательно заряженных тел, причем следы совпадают, когда  $\delta$  мал, т. е. когда продольный размер объемного тела мал по сравнению с длиной осцилляции. Следует отметить, что в ближней зоне следа и при малых значениях  $\delta$  следы обычно расходятся (фиг. 4, 6).

**4. Обтекание пластиинки и цилиндра при разных потенциалах.** Было исследовано влияние потенциала тела на картину обтекания. В этих экспериментах существенную трудность представляет собой работа с потенциалами, близкими к потенциальному плазмы. Дело в том, что при работе с щелочными плазмами существенную роль могут играть контактные раз-



Фиг. 4

ности потенциала (КРП), возникающие из-за образования на теле пленки щелочного металла (при работе с калием КРП может достигать 2—3 в) [5]. Поскольку площадь пластинки и цилиндра довольно велика, существенной может оказаться неоднородность КРП, поэтому представляется не очень надежным независимое определение потенциала плазмы (например, по вольт-амперной характеристике зонда).

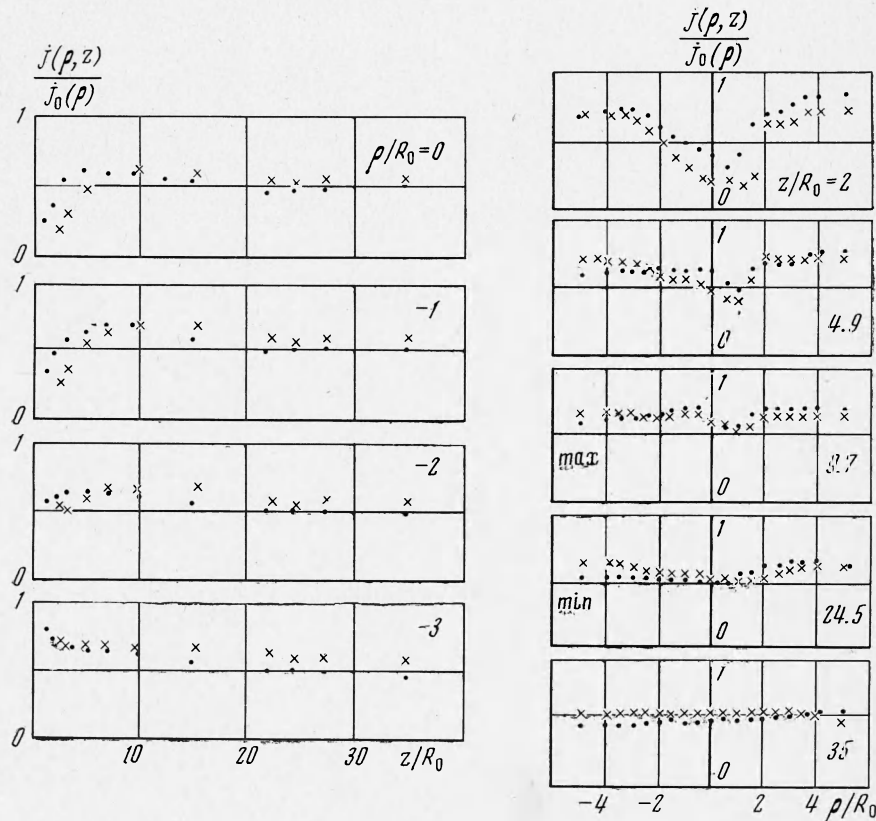


Фиг. 5

Оказалось, что форма радиального сечения следа существенно меняется при переходе из области отрицательного потенциала в область положительного (см. фиг. 7). Это понятно, поскольку при положительном потенциале на теле, попадающие в след, поглощаются телом, так что сечение следа приближается к геометрическому сечению тела. СтРОЯ набор кривых  $n(\rho)$  в каком-нибудь сечении при различных потенциалах с шагом 0.1 в, можно определить переходную точку с точностью  $\sim 0.2$  в. Этот потенциал перехода и принимался за потенциал плазмы  $U_0$ . В рабочем режиме (фиг. 6) он оказался равным —2.8 в для пластинки и —3.3 в для цилиндра.

Правильность измеренного потенциала плазмы можно проверить, определяя плавающий потенциал  $U_*$  и сравнивая разность  $U_* - U_0$  с расчетным значением плавающего потенциала относительно потенциала плазмы  $\varphi_* - \varphi_0$  [5]. Оказалось, что  $U_* - U_0 = 0.7$  в хорошо согласуется с  $\varphi_* - \varphi_0 = 0.8$  в, так что принятая методика позволяет определять потенциал плазмы достаточно точно. Отметим, что абсолютная величина потенциала плазмы в рабочем режиме согласно расчету [5] равна  $|\varphi_0| \sim 0.2$  в.

На фиг. 7 приведены радиальные сечения следа в максимуме осцилляции при разных потенциалах тел ( $U$  — потенциал пластиинки,  $\varphi$  — потенциал тела относительно потенциала плазмы:  $\varphi = U - U_0$ ). Из фигуры четко видно изменение характера следа при переходе в область положительных потенциалов. Видно, что при увеличении как положительного, так и отрицательного потенциала растет глубина следа и его ширина. Это ука-



Фиг. 6

зывает на существенную роль слоя объемного заряда у поверхности заряженного тела. С ростом потенциала растет размер слоя, т. е. возрастает эффективный размер тела и, следовательно, ширина и глубина следа должны возрастать.

Следы пластиинки и цилиндра совпадают всюду при потенциале плазмы и более положительных потенциалах, а также при отрицательных вплоть до плавающего; при дальнейшем увеличении отрицательного потенциала след цилиндра становится глубже, чем след пластиинки (фиг. 8). При этом след пластиинки при  $U = -7$  в практически не отличается от следа при  $U = U_0$ , а след цилиндра становится глубже. Это указывает на более быстрый рост эффективной поверхности слоя цилиндра. При дальнейшем увеличении потенциала слой начинает существенно влиять и на след пластиинки (фиг. 7).

Таким образом, можно выделить следующие области при возрастании отрицательного потенциала:

1)  $U = U_0$ . При обтекании основную роль должны играть геометрические факторы. Совпадение или различие следа пластиинки и цилиндра должно определяться параметром  $\delta$ ;

2)  $U \leq U_0$ . Размер слоя мал, слой практически не влияет на обтекание в дальней зоне ( $U = U_*$  на фиг. 7), но возможно, оказывается в ближней. Параметр  $\delta$  сохраняет свою роль;

3) слой заметно влияет на след цилиндра, но не влияет на след пластиинки ( $U = -7$  в на фиг. 7), кроме ближней зоны. В параметре  $\delta$  величину  $R_0$  следует заменить эффективным размером  $R_* > R_0$ ;

4) слой заметно влияет на след и пластиинки и цилиндра ( $U = -20$  в на фиг. 7). В этой области пластиинка имеет эффективный продольный размер, так что сравнительная картина становится более сложной и требует специального учета влияния слоя.

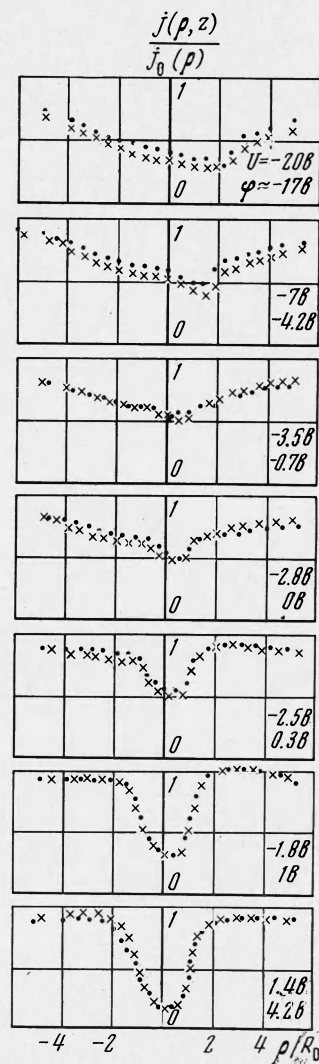
Границные потенциалы для этих областей, естественно, зависят от характеристик потока плазмы и тела — таких, как  $R_0$ ,  $\rho_i$ ,  $V_0$ ,  $V_i$ . Так, для различных режимов граничные потенциалы области 3 и 4 равны:

$$\begin{array}{lll} \delta & 0.033 \text{ (фиг. 4, } \partial) & 0.053 \text{ (фиг. 7)} & 0.087 \\ U_3 & -10 \text{ в} & -4 \text{ в} & \sim (-3) \text{ в} \\ U_4 & -15 \text{ в} & -10 \text{ в} & \sim (-7) \text{ в} \end{array}$$

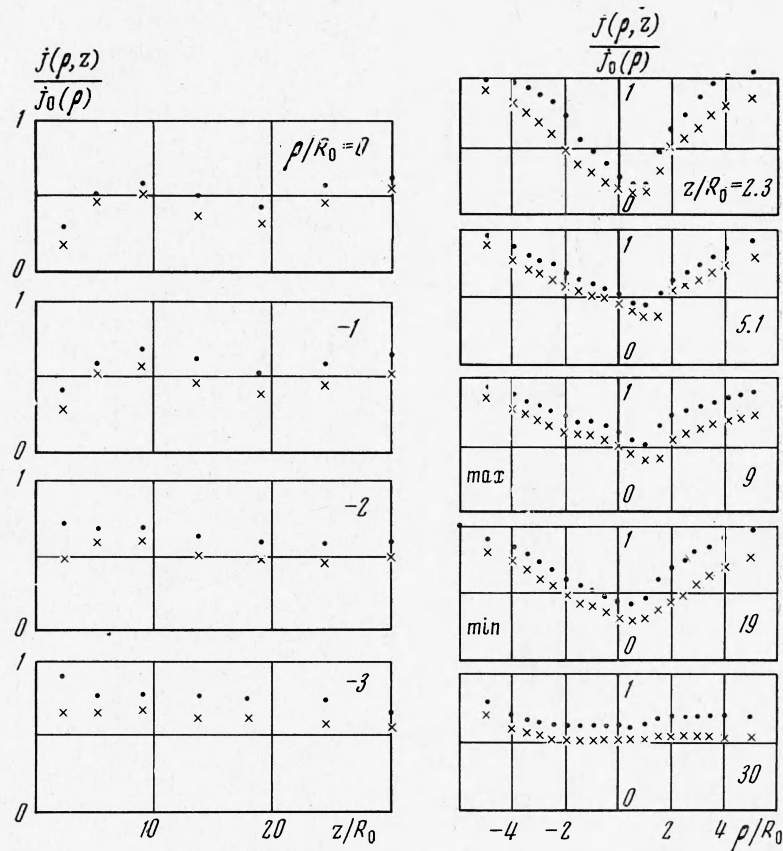
Таким образом, при заданном потенциале тел различные режимы могут оказаться в различных областях (например, при  $U = -7$  в режим с  $\delta = 0.087$  — область 4, режим 7 — область 3, режим 4 — область 2). При этом сравнительная картина следов пластиинки и цилиндра должна определяться параметром  $\delta_* = R_* / z_h$ , меняющимся от  $\delta$  в области 2 до  $\delta_* > \delta$  в области 3. Экспериментальные результаты показывают, что качественно картину можно описать с помощью параметра  $\delta$ .

Сравнение картины обтекания при  $U = U_0$  и  $U = -7$  в показывает, что совпадение следов пластиинки и цилиндра при  $U = -7$  в наблюдается при меньших значениях  $\delta$ , чем в случае  $U = U_0$ . Действительно, при  $U = U_0$  следы расходятся в режимах с  $\delta = 0.087$  и 0.073 и совпадают в режиме 7 и 4д, в то время как при  $U = -7$  в следы совпадают в режиме 4д и расходятся в режимах 7 и 5. Таким образом, при  $U = U_0$  параметр перехода лежит в пределах  $0.07 > \delta > 0.05$ , а при  $U = -7$  в  $-0.05 > \delta > 0.04$ . Это подтверждает предположение о том, что при потенциале плазмы (область 1) обтекание определяется параметром  $\delta$ , а при более отрицательных потенциалах (область 3) — параметром  $\delta_* > \delta$ .

При  $U = U_0$  в отличие от случая  $U = -7$  в совпадение наблюдается не только в дальней, но и в ближней зоне. Таким образом, можно предполагать, что различие следов пластиинки и цилиндра в ближней зоне при



Фиг. 7



Фиг. 8

$U = -7$  в режимах, когда в дальней зоне следы совпадают (фиг. 4), обусловлено влиянием слоя объемного заряда.

Авторы благодарны А. В. Гуревичу за постоянное сотрудничество и ценные обсуждения и К. Тинчурину за помощь в измерениях.

Поступила 3 I 1972

#### ЛИТЕРАТУРА

- Альперт Я. Л., Гуревич А. В., Питаевский Л. П. Искусственные спутники в разреженной плазме. М., «Наука», 1964.
- Гуревич А. В., Питаевский Л. П., Смирнова В. В. Ионосферная аэродинамика. Усп. физ. н., 1969, т. 99, № 3.
- Скворцов В. В., Носачев Л. В. Космические исследования, 1968, т. 6, стр. 855.
- Богащенко И. А., Гуревич А. В., Салимов Р. А., Эйдельман Ю. И. Обтекание тел потоком разреженной плазмы, ЖЭТФ, 1970, т. 59, вып. 5.
- Гуревич А. В., Салимов Р. А., Бучельников Н. С. Исследование устойчивого состояния разреженной плазмы в Q-машине. Теплофизика высоких температур, 1969, т. 7, вып. 5.